

Andreas Konecny
Vasilios Aravantinos
Michael Boyd
Ron Marchese

Geophysik in Plataiai: Resultate der Kampagne 2005¹

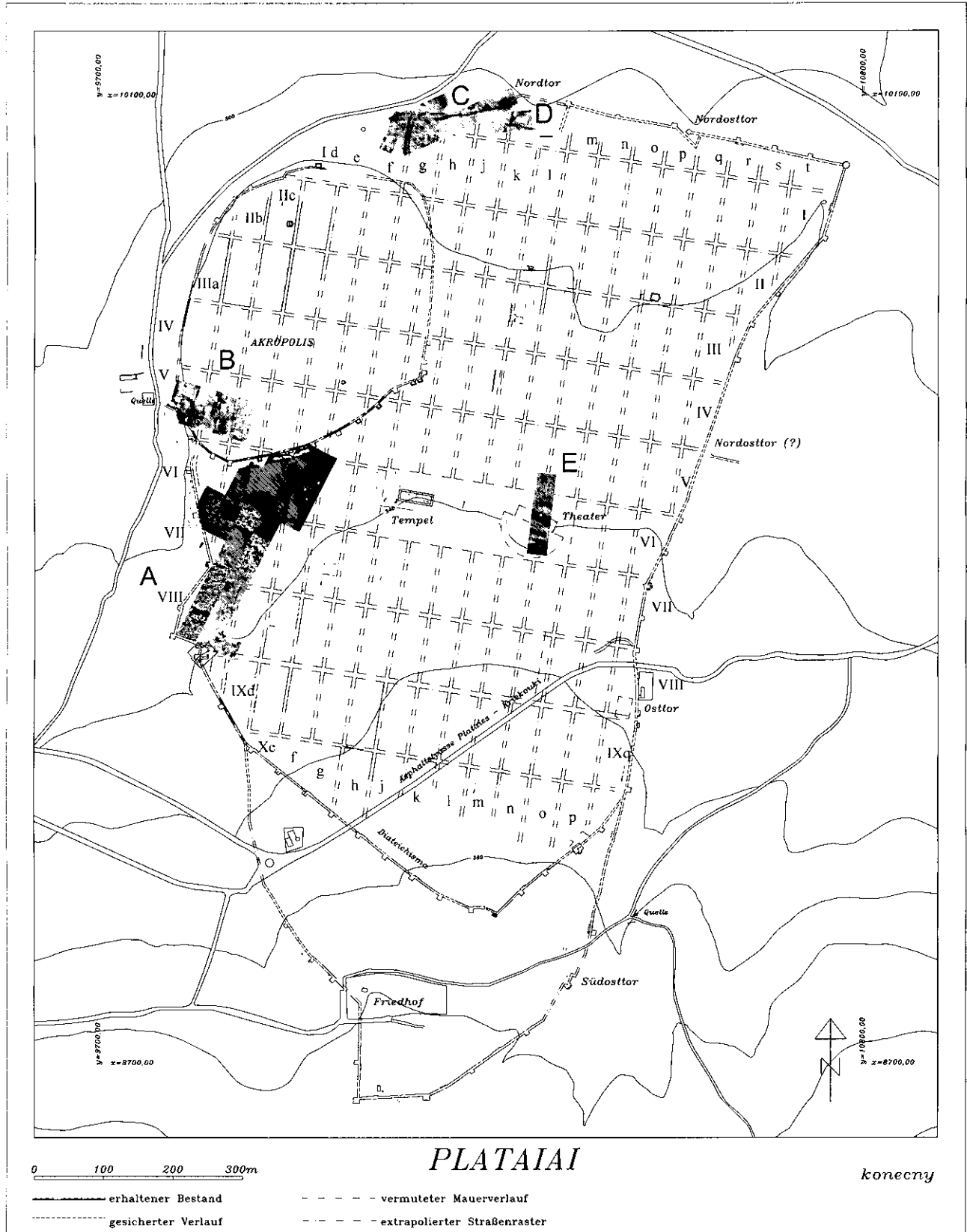
Im Zuge der seit 1996 andauernden Forschungen in Plataiai durchgeführte Oberflächensurveys, kleinflächige geophysikalische Prospektionen und Grabungen an Punkten von speziellem Interesse haben geholfen, die Abfolge der Besiedlungsphasen von Plataiai und die Baugeschichte der am Ort vorhandenen Befestigungssysteme abzuklären². Daneben haben sie signifikante Daten zur Binnengliederung der Siedlung geliefert: Eine kleinräumige Geländeformation im Osten des Stadtgebiets kann als Stätte des Theaters interpretiert werden. Anhand alter Grabungsberichte³ lässt sich die Lage eines 1891 teilweise freigelegten, seitdem wieder vollständig verschütteten Tempels – wahrscheinlich der Hera geweiht und wohl ident mit dem, der in Herodots Schilderung der Schlacht von Plataiai im Spätsommer 479 v. Chr. eine nicht unbedeutende Rolle spielt⁴, – bestimmen. An der Oberfläche feststellbare Merkmale ermöglichen die Rekonstruktion eines großzügig angelegten, orthogonalen Bebauungsrasters. Allerdings können die bislang angewandten Methoden zu einer weiteren Verfeinerung des Stadtplans von Plataiai nichts mehr beitragen. Deshalb wurde im Herbst 2005 ein Projekt zur geophysikalischen Prospektion der antiken Siedlung in Angriff genommen, welches schon in der ersten Kampagne signifikante Daten zur Binnengliederung der Stadt wie zur Ausgestaltung eines bislang verloren geglaubten Teilabschnitts ihres Mauerrings erbracht hat.

¹ Der Dank der Autoren gilt folgenden Institutionen und Personen: dem Kultusministerium der Griechischen Republik, dem Jubiläumsfonds der Oesterreichischen Nationalbank, dem Österreichischen Archäologischen Institut in Wien und in Athen, J. Bintliff, A. Charami, P. Defingos, B. Eder, J. M. Fossey, P. Glass, E. Koudouri, D. Koutsodimos, F. Krinzinger, E. Kyriatzi, G. Ladstätter, H. Moser, V. Mitsopoulou-Leon und R. Pillinger.

² Plataiai war in den Jahren 1889–91 und 1899 Gegenstand archäologischer Feldforschung, s. C. Waldstein – F. B. Tarbell – J. C. Rolfe, *AJA* 5, 1889, 428 ff.; C. Waldstein – H. S. Washington – W. Hunt, *AJA* 6, 1890, 445 ff.; H. S. Washington, *AJA* 7, 1891, 390 ff.; A. Skias, *Prakt* 1899, 42 ff. Die Beiträge von E. Kirsten in: *RE XX* (1950) 2255 ff. s. v. Plataiai, J. M. Fossey, *Topography and Population of Ancient Boeotia* (1988) 109 ff. und L. Prandi, *Platea. Momenti e problemi di storia di una polis* (1988) stellen die bislang gründlichsten und durch Autopsie in oft bemerkenswerter Weise unterstützten Ausarbeitungen zur Historie des Platzes dar, konnten dem dokumentierten Denkmälerbestand aus Plataiai allerdings nichts Neues hinzufügen. Deshalb erschien es wünschenswert, moderne feldarchäologische Ansätze und Methoden auch in dieser bislang in der Forschung ein wenig vernachlässigten Ruinenstätte am Nordabhang des Kithairon zur Anwendung zu bringen. Zu den bisher erzielten Resultaten vgl. A. Konecny, *ÖJh* 67, 1998, Beibl. 53 ff.; ders. in: B. Asamer – W. Wohlmayr (Hrsg.), *Akten des 9. Österreichischen Archäologentags* (2001) 115 ff.; ders. in: B. Brandt – V. Gassner – S. Ladstätter (Hrsg.), *Synergia. Festschrift F. Krinzinger* (2005) II 279 ff.; A. Konecny – M. J. Boyd – I. K. Whitbread, *ÖJh* 68, 1999, Beibl. 41 ff.; V. Aravantinos u. a., *ÖJh* 69, 2000, 9 ff.; V. Aravantinos – A. Konecny – R. Marchese, *ÖJh* 70, 2001, 9 ff.; dies., *Hesperia* 72, 2003, 281 ff.; dies., *Athena Review* 3, 2003, 49 ff. Das gegenständliche Projekt findet in einer Kooperation des Instituts für Klassische Archäologie der Universität Wien mit der Ephorie von Boiotien, Theben, und der University of Minnesota at Duluth sowie mit Unterstützung des Fitch Laboratories an der British School at Athens statt. Die Finanzierung erfolgt durch den Jubiläumsfonds der Oesterreichischen Nationalbank.

³ Washington (Anm. 2) 390 ff.

⁴ Hdt. 9, 52. Einen Blick auf das weitere Schicksal des Heiligtums gewährt Thuk. 3, 68.



1 Plataiai, Gesamtplan mit geophysikalisch gemessenen Arealen A bis E

The Geophysical Survey

Previous geophysical surveys at Plataia have already been fully described in this journal⁵. 2005 saw the beginning of a new phase of geophysical survey with a much wider remit: large-scale and detailed survey covering a significant percentage of the site and aiming at greatly expanding our knowledge of the layout and architecture of the city. The models for this campaign are the recent, highly successful surveys at the broadly analogous sites of Tanagra in Boeotia and Philippi in Macedonia⁶.

Survey was carried out over three weeks in October 2005. Resistance survey was carried out using a Geoscan RM-15 resistance meter. Readings were taken in 30 m grids at a sample interval of one reading per square metre. The magnetic survey was undertaken using a Geoscan FM-36 fluxgate gradiometer; readings were again taken in 30 m grids, but here with a sample interval of four readings per square metre. Data were processed using custom-designed software and the MapInfo/Vertical Mapper GIS package. In 2005 a total area of 48,137 m² (almost 5 ha) was surveyed with the resistance meter, while 7,198 m² (about 0.7 ha) was covered with the magnetometer. Data were gathered in four discrete areas (fig. 1).

Area A (fig. 2)

The largest survey area was situated on the western side of the city, immediately east of the city wall and south of the acropolis. Resistance survey here covered a total area of 2.8 ha, of which 0.6 ha was also surveyed with the magnetometer; the maximum extent of the survey area is 330 m on its longer (north-south) axis and up to 150 m east to west.

The resistance survey is characterised by background readings around 20 Ω to the south, rising to around 30 Ω to the north, with much higher readings predominating to the east. Much of this is almost certainly due to the depth to bedrock. On the western side, conversely, the presence of the city wall may have allowed a greater build up of earth. Major features such as streets tend to exhibit readings about 10 Ω above background, while ephemeral features may be detectable at only 2 Ω or 3 Ω above background; bedrock features, the city wall and the area immediately in front of the acropolis wall exhibit readings up to 100 Ω above background. In the magnetic survey significant features appear as negative anomalies about 5 Nanotesla (nT) to as much as 40 nT below surrounding values. Areas of bedrock tend to appear as positive anomalies, suggesting that architectural features should contrast strongly with natural.

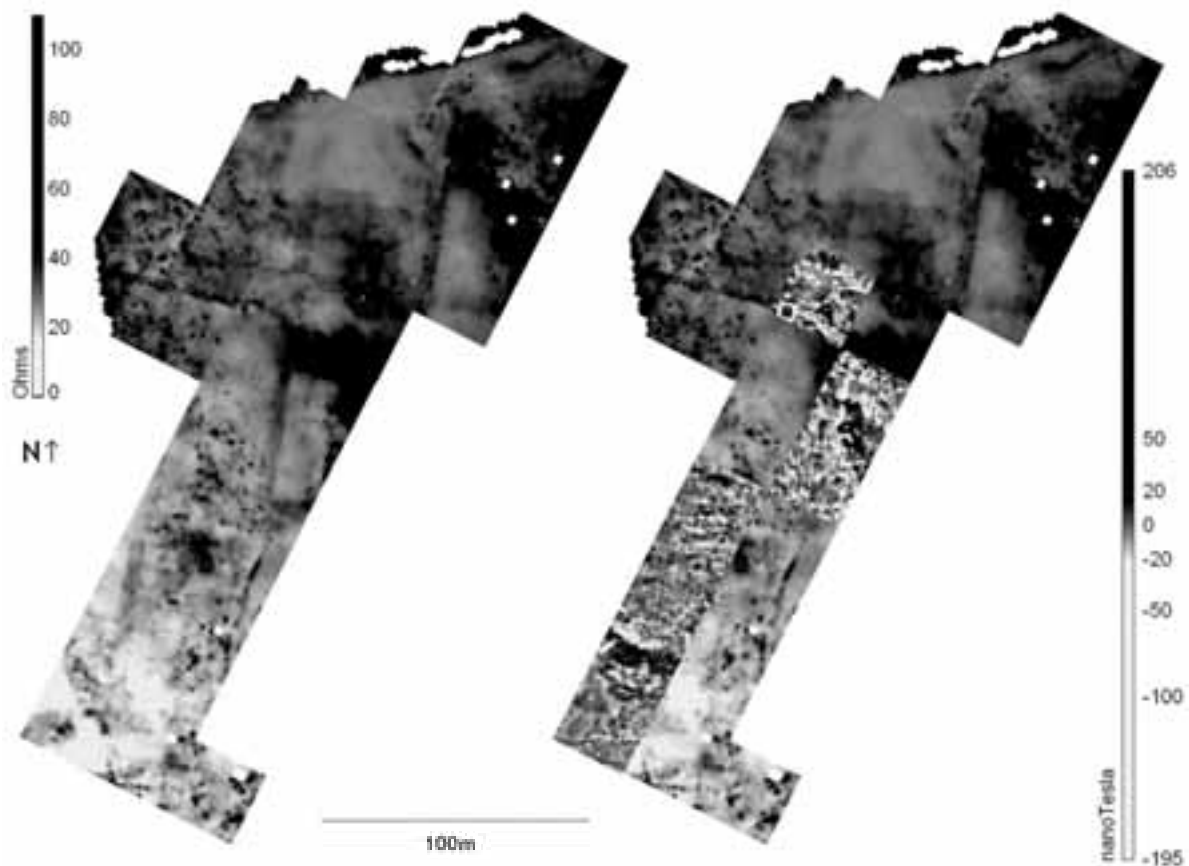
The layout of archaeological features in area A is described by five securely attested streets, defined in the data over very long distances and most likely extending further. Three of these are north-south and can be traced for 75 m, 166 m and 88 m respectively; the orientation is 8.5° east of north. Insula widths are 40 m and 43 m respectively. Two streets run east-west at 98.5°, detectable over 121 m and 51 m, and creating an insula length of 97 m. Other streets are not detectable in the data. Streets appear to be uniformly 6 m wide.

While roads are well-detected and insulae clearly outlined, structural detail within city blocks is less well represented by the data. Two features stand out: a lack of evidence for major architectural features, suggesting that small-scale occupation was the norm for this part of the city; and areas best interpreted as bedrock features appear to have been cut or quarried, most likely both to provide appropriate building platforms and to provide the material with which to build.

A number of complex features consisting of short east-west linear features which likely form internal or external walls for buildings may be noted at the south end of the survey area. The first complete block in this area (VIII c) is divided precisely in two by a linear edge feature which marks the boundary between generally higher readings on the east side from generally lower readings to the west; linear features on the east side indicate likely architectural divisions, contrasting with more 'geological' features on the west side. The

⁵ Konecny – Boyd – Whitbread (Anm. 2) 41 ff.; Aravantinos (Anm. 2) 9 ff.; I. K. Whitbread, *ÖJh* 70, 2001, 16 ff.; M. J. Boyd – I. K. Whitbread, *Hesperia* 72, 2003, 315 ff.

⁶ For Tanagra cf. J. Bintliff et al., *Pharos* 8, 2000, 93 ff.; *idem*, *Pharos* 9, 2001, 33 ff.; J. Bintliff et al., *Pharos* 11, 2003, 35 ff.; J. Bintliff – B. Slapšak, *BCH* 127, 2004 (in press); for Philippi: M. J. Boyd – S. Provost, *BCH* 125, 2002, 453 ff.; S. Provost – M. J. Boyd, *BCH* 126, 2003, 431 ff.; M. J. Boyd, *BCH* 127 (in press); *idem*, The *insula* of the 'Maison des Fauves' at Philippi (Macedonia): a geophysical survey (2005).



2 Geophysical survey at Plataiaia, Area A. Left: resistance survey. Right: magnetic data superimposed on resistance data

next block to the north (VII c) contains a major feature at its north end which seems not to respect the grid system, and so predates or (more likely) postdates it. This is linear, emerging from bedrock and running initially west-northwest for about 12 m, then turning west and running to the edge of the survey area, about 63 m. The feature is consistently 3 m wide and 5–10 Ω above background, although at its western end it becomes 10–20 Ω stronger. The feature is also strongly defined magnetically, where it exhibits a negative signature up to 20 nT below background. At the point where the feature changes direction, a very clearly defined square feature is easily discerned in both sets of data. The magnetic data suggest this feature is about 6.25 m square on the outside, defined by walls about 1 m thick. Presumably this feature is a tower, thus defining the larger feature as a major wall.

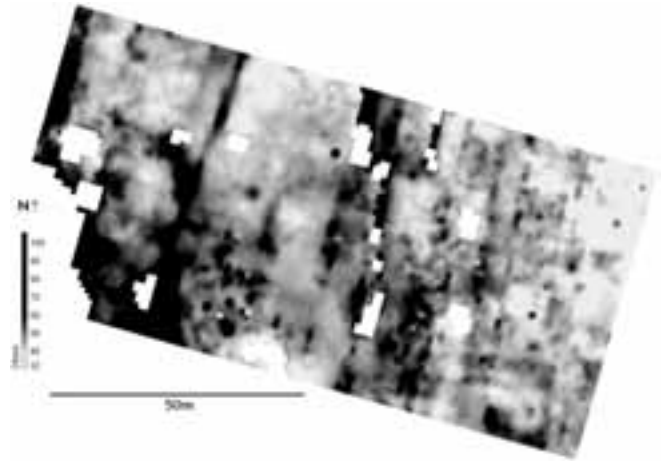
Archaeological features elsewhere are often incomplete in plan but clear from their adherence to the city grid. In the northeast (block VI e) a small feature may represent a rectangular or apsidal structure about 13 m \times 7 m, with an entrance to the southeast. This feature is not oriented with the city grid.

Area B (fig. 3)

Area B was situated in the southwestern corner of the acropolis, to the northwest of area A (fig. 1). Resistance survey here covered a total area of 0.7 ha, with maximum extents of 120 m east to west and 60 m north to south. Background readings here fall in the range 40–50 Ω , with anomalies ranging from 50–100 Ω .

Anomalies on the eastern side of area B are aligned with the city grid system, and the principal feature detected is the northward extension of a street first detected in area A. The feature is about 5 m wide and while it is strongly defined on its western side, its eastern side is rather less clear. Other features in this vicin-

ity are linear and aligned with the grid system. Although no individual buildings are clearly defined, there is an impression of numerous walls forming densely packed architecture. About 20 m west of the street, an intense linear feature divides the hypothetical insula (block V b) in two. West of this feature, there is an almost complete lack of conformity with the orientation of the city grid; instead, the survey area is dominated by two features: high anomalies associated with the acropolis wall, lining the west and southwest edges of the survey area; and an anomaly projecting out from the acropolis wall, running south to north. This might be a built feature, most likely related in some way to the construction of the acropolis wall, and presumably post-dates the canonically oriented features to the east.

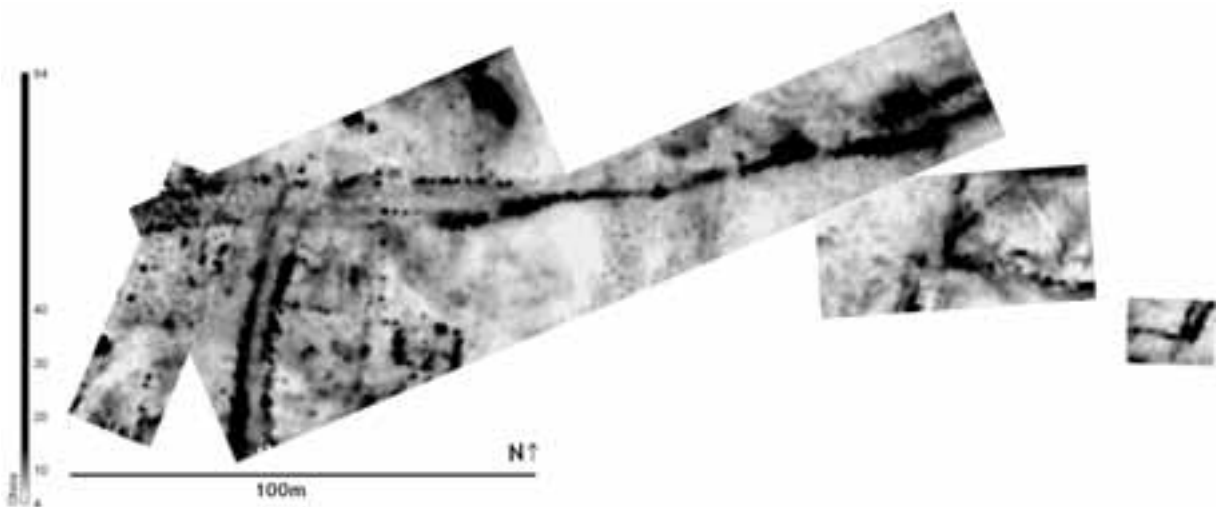


3 Geophysical survey at Plataiai, Area B. Resistance survey

Areas C and D (fig. 4)

Areas C and D are located at the north-central section of the city, to the northeast of the acropolis. Resistance survey here covered just under 1 ha in an area up to 180 m long and 60 m broad. Background readings in 'quiet' areas vary from 4–8 Ω , while backgrounds in clearly occupied areas range from 8 Ω to 12 Ω , and architectural features measure about 15–35 Ω .

Survey in areas C and D has revealed a rich array of both monumental architecture, in the form of a part of the city wall, and urban architecture within the city. The feature identified as the wall is surprisingly varied in structure. Overall, it can be traced over about 210 m, as the dogleg feature dominating area C, with variations in orientation occurring over short lengths. The feature appears at the east end of the survey area as a double anomaly about 10 m wide, consisting of parallel linear high resistance anomalies 2–3 m wide separated by about a 3 m space where readings are closer to background. After about 12 m the northern side ends in a tower about 8 m \times 3 m, while the southern side exhibits a projection and change of angle. This suggests that the entire feature is a gateway of some sort. This could only be confirmed by further survey to the east.

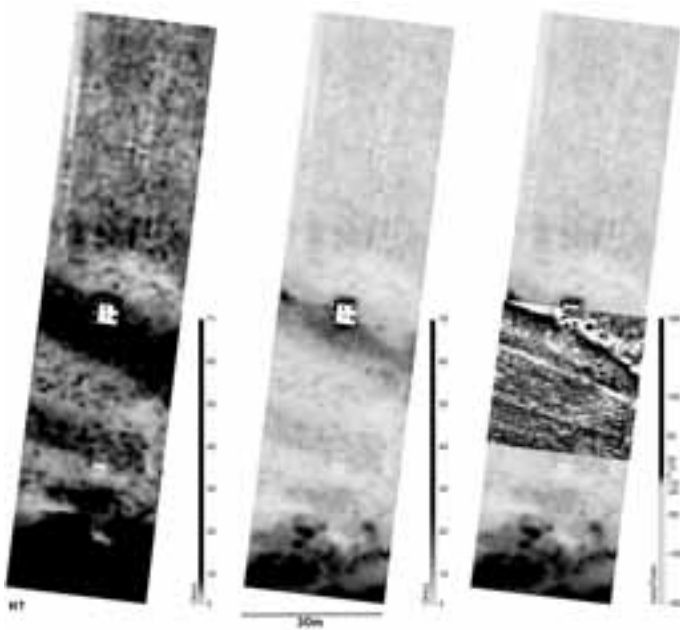


4 Geophysical survey at Plataiai, Areas C and D. Resistance survey. Areas on the far left and right were surveyed in 1999 (ÖJh 69, 2000, area 3, fig. 2 and area 6, fig. 4)

Continuing west, the wall is now a single feature for about 83 m. It maintains its overall orientation with several minor shifts. In several places the anomaly almost disappears, suggesting perhaps breaches in the wall, while at one point a projection almost certainly forms another tower. The wall as a major anomaly comes to an end abruptly. A faint linear feature continues the wall's line for a further 37 m. It seems likely that the wall was demolished or badly damaged along this stretch, leading to surviving foundations being more deeply buried and thus less well detected. For much of this distance a parallel linear feature can be found 5 m to the north, forming perhaps a *proteichisma* or road running with the wall. At this point the feature makes a dramatic turn southward. This turn is not apparently protected by a tower, and indeed the feature remains faint for several more metres, before suddenly regaining its full strength. From here to the edge of the survey area two parallel high resistance features are 2–3 m thick with a space between them of 3 m. The features follow a slightly curving line, and the eastern is slightly lesser in intensity.

Overall, the wall's orientation is approximately, but not exactly, aligned with the city grid. In the area within the wall (south and east of it) some features representing walls and buildings are more closely aligned with the city grid (block I g) and others are more closely aligned with nearby sections of the wall – as might be expected. Major features closely aligned with the city grid are also present in area D. Architectural features at the western end of the survey area within the city wall occupy an area about 40 m wide. This is within the 40–43 m range for city blocks observed in area A, and it is odd that east of this 40 m area no architectural features are discernible. Faint features further east suggest that the north-south street pattern is detected in areas C and D. Features outside (north and west) of the city wall form no coherent pattern. Further work in this area in 2006 will attempt to characterise the nature of the wall return, occupation within the wall, and any feature outside the wall.

Area E (fig. 5)



5 Geophysical survey at Plataiai, Area E. Left: resistance survey, minor anomalies. Middle: resistance survey, major anomalies. Right: magnetic data superimposed on resistance data

This test was placed over and to the north of the theatre in order to see if geophysics could reveal further details about this important public building. Resistance survey covered about one third of a hectare, while a quarter of this area was also surveyed with the magnetometer.

The area to the north of the theatre, and right into the *cavea*, has been ploughed in recent times. This has undoubtedly caused damage to subsurface features, and has led to the uniform response in the northern part of the survey, beyond the *cavea*. Slight banding in the data may indicate subsurface features, but more likely is related to recent agriculture. Two slightly more substantial bands are present in the resistance data, and outlined in the magnetic data. Some of these features may well be related to the architecture of the theatre complex. In the southernmost quarter of the resistance survey, measured values reflect the elements of the *cavea* close to the surface. Readings rise to about 45 Ω , and the overall width of the feature (which clearly extends beyond survey limits) is about 16 m.

M. J. Boyd

Interpretation: Die Binnengliederung der Stadt

Nach einer bewegten Geschichte, in der die Stadt mehrere Male zerstört wurde, erlebte Plataiai in den Jahren nach 338 v. Chr. einen Ausbau in großem Maßstab⁷. Unter anderem mit finanzieller Unterstützung seitens Alexanders des Großen entstand auf einer Fläche von über 80 ha eine großzügig angelegte Stadt. Innerhalb eines langgezogenen Mauerrings erstreckte sich das durch rechtwinklig aufeinanderlaufende Straßen in ungefähr 40 auf 95 m messende Häuserblöcke gerasterte Siedlungsgebiet. Seine generelle Anlage ist aus Oberflächenfeatures wie Mauerresten, Böschungen, Klaubsteinhaufen, Grundgrenzen und Bewuchsschatten besonders für den Westabschnitt von Plataiai zu erschließen. Im Ostteil, der landwirtschaftlich genutzt wird, fehlen diese an der Oberfläche feststellbaren Merkmale jedoch größtenteils. Die Ausdehnung des Rasters lässt sich deshalb nicht verlässlich bestimmen. Aber auch im weniger stark gestörten Westabschnitt liegen die Oberflächenmerkmale nicht in ausreichender Dichte vor, um aus ihnen mehr als nur die allgemeine Lage und Ausdehnung der Häuserblöcke zu bestimmen. Vereinzelt Mauerreste geben immerhin einen Hinweis darauf, dass die Blöcke eine innere Unterteilung aufgewiesen haben. Die geophysikalischen Prospektionen der Kampagne 2005 haben geholfen, diese Binnenteilung präziser zu definieren.

In den Arealen A, B, C und D konnten mehrere Häuserblöcke zur Gänze oder teilweise geortet werden. Sie fügen sich in den interpolierten Straßenraster von Plataiai. Besonders deutlich erscheinen im Widerstands- und im Magnetbild die einfassenden Straßen. Das lässt auf eine gehärtete Oberfläche schließen. Direkt am Westtor haben die Grabungen gezeigt, dass die Verkehrsflächen mit einer erdigen Bruchschotterpackung belegt waren⁸. Ähnlich werden die Verkehrswege wohl auch im Rest der Stadt ausgestaltet gewesen sein.

Innerhalb der Häuserblöcke sind lineare Features festzustellen, die als Mauern bzw. Fundamente zu interpretieren sind⁹. An mehreren Blöcken fällt auf, dass eine von Nord nach Süd verlaufende Mittelmauer sie in eine westliche und eine östliche Hälfte teilt, in denen weitere Mauern Hausparzellen abteilen (Blöcke Ig, Vb, VIId, VIIIc). Von ihnen dürften standardmäßig zehn auf den Häuserblock gekommen sein, was Parzellengrößen von etwas weniger als 400 m² erschließen lässt¹⁰. Anstehender Fels wurde offenbar abgearbeitet, um ebene Bauplätze für Häuser zu schaffen. Als Mauerzüge zu interpretierende Features innerhalb der Hausparzellen lassen keine einheitlichen Grundrissmuster erkennen, viel eher eine individuelle Gestaltung vermuten. Besonders im südlichsten in Areal A erfassten Häuserblock VIIIc indiziert der Befund, dass die Parzellen hier z. T. mit kleineren, rechteckigen Strukturen bebaut waren, die sich tendenziell an die Umfassungsmauer anlehnten; die Restflächen sind wohl als offene Höfe zu interpretieren. Allerdings zeigt sich, dass bei Weitem nicht alle Häuserblöcke flächig oder auch nur teilweise bebaut waren: Die im nordwestlichen Abschnitt von Areal A nahe an der Stadtmauer gelegenen Blöcke VIb, VIc und VIId blieben großteils frei von Bebauung, und hier scheinen auch die Straßen nicht ausgebaut gewesen zu sein. Auch in Areal C/D weisen die verfügbaren Flächen nur teilweise Anzeichen von Verbauung auf, wobei hier allerdings die Straßen ausgeführt worden sind (Blöcke Ig–k und nördlich davon). Ganz offensichtlich stand innerhalb des großen Mauerrings von Plataiai weitaus mehr Bauland zur Verfügung, als von den Einwohnern der Stadt benötigt wurde.

Daneben wurde im nordöstlichsten in Areal A dokumentierten Häuserblock VIe offenbar durch Abtragung des hier anstehenden Fels eine größere zusammenhängende Fläche gewonnen. Ihre unregelmäßige Gestalt und das Fehlen von Evidenz für eine Unterteilung durch Mauern zeigen, dass sie nicht mit Häusern verbaut war; eine Interpretation dieses Features ist derzeit nicht möglich. Eine im westlichen Abschnitt von Areal A in den Blöcken VIIb und VIId gelegene, nicht am Straßenraster orientierte, lineare Struktur mit eingefügtem quadratischem Bau entzieht sich ebenso der Interpretation. Aufgrund ihrer Lage in einer seichten Geländesenke besitzt sie allerdings wohl keinen fortifikatorischen Kontext. Auch begegnet besonders im nördlichen Abschnitt des Areals, nahe der Akropolisbefestigung, das eine oder andere Anzeichen einer späten, nicht am Straßenraster der klassischen Stadt orientierten Bebauung. Die Features lassen sich z. T. mit an der Oberfläche georteten Mauern in Mörtel-Bruchstein-Technik zur Übereinstimmung bringen.

⁷ Hdt. 8, 44. 50; Thuk. 2, 71 ff.; 3, 20 ff. 52 ff.; Paus. 4, 4, 1; 4, 27, 10; 9, 1, 8; 9, 5, 1; Diod. 15, 64; Xen. hell. 6, 3, 1; Arr. an. 1, 9 passim; Plut. Alexander 34, 3. Vgl. auch V. Aravantinos – A. Konecny – R. Marchese, *Hesperia* 72, 2003, 284 ff. mit Lit.

⁸ V. Aravantinos – A. Konecny, *ÖJh* 69, 2000, 9 ff.; Aravantinos – Konecny – Marchese (Anm. 7) 305 ff.

⁹ Wie sie in kurzen Abschnitten im östlichen Randbereich der Grabungen am Westtor freigelegt worden sind, vgl. o. Anm. 8.

¹⁰ Verglichen mit für Peiraeus, Olynth, Priene und Kassope erschließbaren Abmessungen sind das recht große Parzellen, vgl. nur W. Hoepfner – E. L. Schwandner, *Haus und Stadt im klassischen Griechenland* (1986) passim.

Entlang der aus der Spätantike stammenden Akropolismauer, die das Untersuchungsareal im Norden begrenzt, zieht sich ein etwa 30 m breiter Streifen, der frei von jeder Bebauung ist. Hier wurde wohl vor der Befestigung ein Glacis geschaffen. Ein undeutliches Feature, das den gesamten Bereich parallel zur Mauer durchzieht, könnte die einstige Existenz eines im Glacis verlaufenden Grabens indizieren. Der Streifen hohen Widerstands am nördlichen Rand von Areal A folgt dem Versturzfeld der Befestigung. Ihm ist im westlichsten Abschnitt ein rechteckiges Feature vorgelagert, das in Grundriss und Abmessungen an einen Turm erinnert. Möglicherweise konnte hier ein Abschnitt der spätarchaisch/frühklassischen Stadtmauer von Plataiai geortet werden.

Im kleineren Areal B, das im südwestlichen Abschnitt der Akropolis liegt, setzt sich der Straßenraster erwartungsgemäß nach Norden fort. Verglichen mit Areal A fallen die hier extrapolierten Hausgrundrisse jedoch um einiges kleinteiliger aus. Darin könnte sich die längere bauliche Nutzung des Areals widerspiegeln. Der Untersuchungsbereich liegt innerhalb des durch die späte Akropolismauer geschützten Bereichs und wurde im Gegensatz zum südlich davon gelegenen Areal weit über die Spätantike hinaus siedlerisch genutzt¹¹. Die hier gelegenen Häuser müssen im Zuge ihrer längeren Verwendung eine oftmalige Umgestaltung, teils wohl auch einen Neubau erfahren und dadurch ihre Grundrisse gegenüber dem ursprünglichen aus der Zeit der spätklassisch-hellenistischen Stadtneugründung teils grundlegend verändert haben. Mehrere nicht im rechten Winkel zum Straßenraster liegende Mauern im westlichen Abschnitt von Areal B sind wohl als die spätesten Resultate dieses ausweislich der Fundkeramik bis ins Mittelalter fortdauernden Veränderungsprozesses anzusehen. Im Nordwesten schließt ein breites, lineares Feature den Untersuchungsbereich gegen den Abhang des Akropolisplateaus ab. Es liegt in der Verlängerung einer massiven Kastenmauer, deren Innenschale in den Grabungen 2000 angeschnitten worden ist¹². Gestalt, Bauart und Lage erlauben, in ihm einen Abschnitt der spätarchaisch-frühklassischen Festungsmauer von Plataiai zu erkennen.

Die Stadtmauer am Nordrand von Plataiai

Die Stadt von 338 v. Chr. schützte sich mit einem beinahe 4 km langen Mauerring vor Angriffen. Seine Linienführung ist zu etwa 90% an der Oberfläche verfolgbar. Nur in einem weiten Talboden nordöstlich des Akropolisplateaus haben Sedimentation und moderne Landwirtschaft gemeinsam bewirkt, dass die Mauer verloren ist. Areal C hat wichtige Hinweise zur Anlage der Befestigungslinie in diesem Bereich geliefert.

Das Areal wird von Südwesten nach Nordosten und anschließend daran nach Osten von einem massiven Widerstandsfeature mit mehrfach geknicktem Verlauf durchzogen, dem im Westen und Nordwesten weniger ausgeprägte Features auf paralleler Linienführung folgen. Im Osten bricht das Feature nach Süden um. Hier ist ihm nördlich ein breitrechteckiges Areal hohen Widerstands angefügt. Wo die Linie erneut nach Norden knickt, ist sie stadtsseitig über eine Länge von etwa 13 m verstärkt. Nördlich läuft in einem Abstand von knapp 4 m parallel zu ihm auch ein gleich breites Feature, das in einem großen, rechteckigen Areal hohen Widerstands beginnt. Die Features setzen sich über den Abschluss des Untersuchungsgebiets nach Osten hin fort. Ihre Breite entspricht der an vielen Stellen dokumentierten Breite des Mauersockels der großen Umfassungsmauer von Plataiai¹³. Das und ihre Lage im nördlichen Randbereich von Plataiai erlauben es, sie als Elemente der gesuchten Stadtbefestigung anzusprechen.

Im Westen indiziert das Widerstandsbild, dass die Stadtmauer, von der Akropolis streichend, in Areal C hineinläuft, beinahe rechtwinkelig umknickt und nach Osten streicht. Im Stadttinneren folgt der Mauer die hier zu erwartende Straße entlang Block Ig. Sie wird von der massiv ausgeführten Westmauer des Häuserblocks begrenzt. Nach Norden ist der Stadtmauer ein etwa 6 m breiter, von einer Mauer begrenzter Bereich vorgelagert, der in der Natur eine Terrasse ausbildet und im Widerstandsbild weiter nach Westen zu verfolgen ist. Es scheint, dass die Stadtmauer in diesem Bereich von einer durch eine Terrassenmauer begrenzten Straße begleitet wurde.

¹¹ Das belegen die Verteilungsmuster der Keramik ganz eindeutig, vgl. Aravantinos – Konecny – Marchese (Anm. 7) 305. Für eine genaue Analyse der im Keramiksurvey gewonnenen Daten muss auf die in Vorbereitung befindliche Endveröffentlichung des Projekts verwiesen werden.

¹² Aravantinos – Konecny (Anm. 8) 14 f.; Aravantinos – Konecny – Marchese (Anm. 7) 313.

¹³ Zu den Charakteristika des großen Mauerrings von Plataiai vgl. nur Aravantinos – Konecny (Anm. 8) 292 ff.

Die Situation im Ostbereich von Areal C lässt sich mit hoher Wahrscheinlichkeit als Tangentialtor interpretieren, dessen frontaler Zugang an beiden Seiten von Türmen flankiert ist. Die Verstärkung des südlichen Mauerastes ist in diesem Kontext als Fundament einer Treppe auf den Wehgang anzusprechen. Der stadtseitige Abschluss der Toranlage liegt außerhalb des Untersuchungsgebiets und wird in der folgenden Kampagne abzuklären sein.

Das Theater

Das Theater von Plataiai ist nur an einer viertelkreisförmigen Geländemulde östlich der Stätte eines wahrscheinlich der Hera geweihten Tempels festzumachen¹⁴. Der Mulde, die mit der Cavea gleichzusetzen ist, folgen einige schlecht erhaltene Mauerabschnitte ihrer Substruktionen. Um die unansehnlichen Reste genauer definieren zu können, wurde in Areal E ein Streifen über das Theater und das ihm nördlich vorgelagerte Gelände gemessen. Die Resultate bleiben mehrdeutig: Im Widerstands- und im Magnetbild zeigen sich zwei lineare, von Nordwesten nach Südosten streichende Features. Rechtwinkelig zu ihnen verläuft eine an der Oberfläche erkennbare Mauer aus großen Quadern. Aufgrund ihrer Lage vor der Caveamulde könnten sie gemeinsam als Reste der Skene des Theaters angesprochen werden. Ob ein im für die Orchestra anzunehmenden Bereich zwischen Cavea und Skene erkennbares breites, rechteckiges Widerstandsfeature als Anzeichen für die Existenz eines Pulpitums römischen Typs gewertet werden darf, muss derzeit unklar bleiben¹⁵. Insgesamt zeigt sich immerhin, dass das Theater von Plataiai nicht am Straßenraster ausgerichtet, sondern gegen ihn verschwenkt angelegt war. Im Bereich nördlich des Theaters fehlen alle erkennbaren Anzeichen von Bebauung.

Für die nächsten Kampagnen ist die Fortsetzung der geophysikalischen Prospektionen geplant. Sie sollen weiteren Aufschluss zu Fragen der fortifikatorischen Sicherung und städtebaulichen Gestaltung von Plataiai erbringen.

Dr. Andreas Konecny
Im Gereute 8, A-1230 Wien
E-Mail: andreas.l.konecny@univie.ac.at

Prof. Dr. Vasilios Aravantinos
Ephorie von Boiotien, Museum Theben, GR-32200 Theben

Dr. Michael J. Boyd
Department of Archaeology, University of Sheffield, West Court 2 Mappin Street, GB-S1 4DT United Kingdom

Prof. Dr. Ron Marchese
Department of Sociology/Anthropology, The University of Minnesota at Duluth, MN 55812
E-Mail: rmarchese@hotmail.com

Abbildungsnachweis: Abb. 1: A. Konecny; Abb. 2–5: M. J. Boyd.

¹⁴ Washington (Anm. 2) 390 ff.

¹⁵ Vgl. nur M. Bieber, *History of the Greek and Roman Theater*⁴ (1971) 167 ff.

